

(67) 人工気泡による鋼材表面疵の追跡

Tracing of Surface Defects on Steel Products by Artificial Blowholes.

Katsuyoshi Kajiyama, et alii.

住友金属工業 小倉製鉄所
工〇梶山勝津芳・諸熊太七郎・工 松井 雅之

I. 緒 言

丸鋼ならびに山型鋼溝型鋼などの一般構造用圧延鋼材における表面疵のうち縦疵についてはその防止対策にもつとも苦慮するところである。一方縦疵の発生については鋼塊表面のスキンブローホールが主なる因子の一つと考えられており製鋼、造塊などにおける減少対策については種々報告に見られるとおりである。

しかしながら圧延作業においては製品により縦疵の発生しやすいものと発生しにくいものとがありまたそれぞれの製品についても発生しやすい位置と発生しにくい位置とがある。このような実際面からの要請にかんがみて各種鋼材につき鋼塊断面位置と圧延製品における縦疵発生位置との関係を追跡し重点的に鋼材表面疵発生防止を試みた。

II. 試 験 方 法

試験の対象にした丸鋼は比較的縦疵の発生しやすい $55\text{ mm}\phi$ および $60\text{ mm}\phi$ 丸鋼であり形鋼は $\angle 90 \times 7$, $\angle 65 \times 6$, $\angle 50 \times 6$ のアングルならびに $\square 125 \times 65 \times 6$, $\square 150 \times 75 \times 6.5$ のチャンネルについて実施した。なほ形鋼についてはフランジ先端に縦疵が現われやすいためこの点を重視して試験をおこなつた。

使用した鋼塊はいづれも断面 $240 \times 180\text{ mm}$, 長さ 150 mm 単重 450 kg の下注キルド鋼塊である。丸鋼用鋼塊に穿孔した人工気泡は $5\text{ mm}\phi \times 10\text{ mm}$ 深さ, $10\text{ mm}\phi \times 15\text{ mm}$ 深さの 2 種類であり穿孔位置は Fig. 1 の左図に示すとおりである。形鋼用鋼塊には $5\text{ mm}\phi \times 10\text{ mm}$ 深さの人工気泡を Fig. 1 の右図に示す要領にて穿孔した。

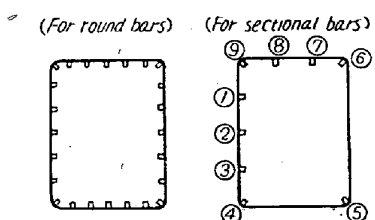


Fig. 1. Marking in the cross section of ingots

上記 7 種類の製品について人工気泡の trace をおこなつた

なつた結果を要約すると下記に示すとおりである。

III. 試 験 結 果

(1) 丸 鋼

$55\text{ mm}\phi$ および $60\text{ mm}\phi$ 丸鋼表面に現われた縦疵の分布を示すとそれぞれ Fig. 2 に示すとおりである。 $55\text{ mm}\phi$ 丸鋼の場合は天地側の方が左右に発生した疵の数より多く分布の密度が大きくなっている。一方 $60\text{ mm}\phi$ 丸鋼の場合はついに天地側の方が左右にくらべて少くなっている。

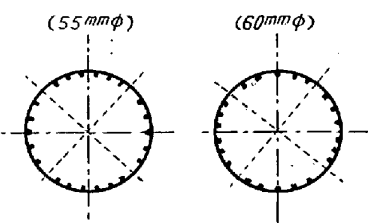


Fig. 2. Distribution of seamy defects on round bars.

$55\text{ mm}\phi$, $60\text{ mm}\phi$ 丸鋼について表面に現われた縦疵の長さについて測定した結果はそれぞれ Fig. 3, Fig. 4 に示すとおりである。すなわち $55\text{ mm}\phi$ 丸鋼では天地側の方が左右にくらべて縦疵の長さが大となり $60\text{ mm}\phi$ 丸鋼では $55\text{ mm}\phi$ 丸鋼の場合と逆になつていて。Fig. 3 Fig. 4 の結果をまとめると Table 1 に示すとおりである。

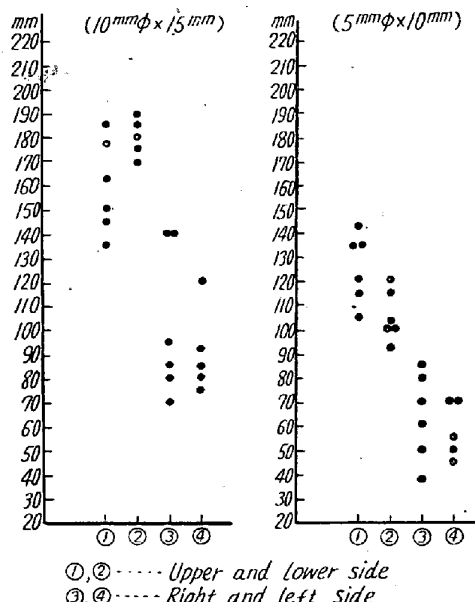


Fig. 3. Length of seamy defects on a $55\text{ mm}\phi$ round bar.

(2) 形 鋼

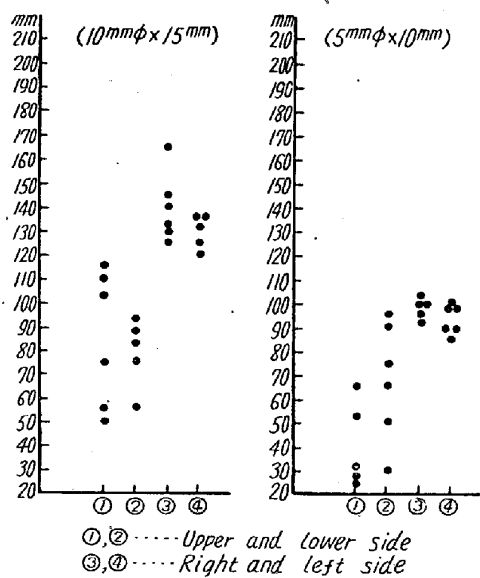
前記 3 種類のアングルならびに 2 種類のチャンネルについて鋼塊にマークした人工気泡の trace をおこなつた

Table 1. Length of seamy defects on round bars.

Size (mm ϕ)	Did. of artificial blowholes	Length of seamy defects	
		upper and lower side	right and left side
55	5 10	106.6 156.8	68.9 60.5
60	5 10	60.4 88.9	102 131.6

Table 2. Length of seamy defects on sectional bars.

Size (mm)	Length of seamy defects	
	Edge of flange	Other parts
∠ 90×7	232	193
∠ 65×6	266	348
∠ 50×6	370	526
□ 125×65×6	112	158
□ 150×75×6.5	70	121

Fig. 4. Length of seamy defects on a 60 mm ϕ round bar.

結果各製品のフランデ先端は下記に示す鋼塊位置に相当する。

- ① ∠90×7 の場合……①～③
- ② ∠65×6 の場合……⑦～⑧
- ③ ∠50×6 の場合……⑦～⑨
- ④ □125×65×6 の場合……⑦～⑨
- ⑤ □150×75×6.5 の場合……⑦～⑨

つぎに5種類の形鋼についてフランデ先端部とそのほかの部分とに分けて縫疵の平均長さを示すと Table 2 のとおりである。Table 2 より∠90×7 アングルの場合だけ先端部の方が長くなっているがそのほかの製品に

ついでいづれもフランデ先端に発生する縫疵の方が小さくなることを示している。∠90×7 アングルの場合にはフランデ先端部は鋼塊の長辺に相当している。

IV. 結 言

鋼塊の表面に人工気泡を作りこれを丸鋼ならびに形鋼製品に圧延し縫疵の trace をおこなった結果下記の点があきらかになり適応の対策を講ずることができた。

(1) 55 mm ϕ 丸鋼では鋼塊の長辺が天地側に相当し左右に較べて縫疵の密集度が大となりまた縫疵の長さも天地側の方が大きくなる。60 mm ϕ 丸鋼の場合は鋼塊の長辺は左右側に相当し縫疵の密集度ならびに縫疵長さとともに55 mm ϕ 丸鋼の場合とは全く逆な結果を得た。

(2) 形鋼についてはフランデ先端に縫疵が比較的に現われやすく問題となる点であるが人工気泡による trace の結果各種製品共フランデ先端と鋼塊位置との関係が明かになつた。なお縫疵長さについては丸鋼の場合と同様な傾向を示している。形鋼の場合には initial-pass の影響に加え造形孔型におけるフランデ先端部の流れが加味されるため、∠90×7 アングルの場合には鋼塊の長短両面における差が比較的小さいがその他の製品のように鋼塊短面がフランデ先端に相当する場合には両者の差が顕著に現われることを確認した。

(3) 以上の調査結果により製品寸法別に重点的に鋼塊の選定・手入をおこなう箇所があきらかにされ縫疵防止に役立てられた。